

Starkniederschlagshöhen und -spenden gemäß KOSTRA-DWD-2020

Rasterfeld 130140

(Zeile 130, Spalte 140)

Regenspende und Bemessungsniederschlagswerte in Abhängigkeit von Wiederkehrzeit T und Dauerstufe D

| Dauerstufe D | | Wiederkehrzeit T | | | | | | | | | | | | | | | | | |
|--------------|-----|------------------|------------|------|------------|------|------------|------|------------|-------|------------|-------|------------|-------|------------|-------|------------|-------|------------|
| | | 1 a | | 2 a | | 3 a | | 5 a | | 10 a | | 20 a | | 30 a | | 50 a | | 100 a | |
| min | Std | mm | l / (s ha) | mm | l / (s ha) | mm | l / (s ha) | mm | l / (s ha) | mm | l / (s ha) | mm | l / (s ha) | mm | l / (s ha) | mm | l / (s ha) | mm | l / (s ha) |
| 5 | | 6,9 | 230,0 | 8,5 | 283,3 | 9,6 | 320,0 | 10,9 | 363,3 | 12,8 | 426,7 | 14,8 | 493,3 | 16,1 | 536,7 | 17,8 | 593,3 | 20,3 | 676,7 |
| 10 | | 9,1 | 151,7 | 11,2 | 186,7 | 12,6 | 210,0 | 14,3 | 238,3 | 16,9 | 281,7 | 19,5 | 325,0 | 21,2 | 353,3 | 23,4 | 390,0 | 26,7 | 445,0 |
| 15 | | 10,4 | 115,6 | 12,9 | 143,3 | 14,4 | 160,0 | 16,5 | 183,3 | 19,4 | 215,6 | 22,4 | 248,9 | 24,3 | 270,0 | 26,9 | 298,9 | 30,6 | 340,0 |
| 20 | | 11,4 | 95,0 | 14,1 | 117,5 | 15,8 | 131,7 | 18,0 | 150,0 | 21,2 | 176,7 | 24,5 | 204,2 | 26,6 | 221,7 | 29,4 | 245,0 | 33,4 | 278,3 |
| 30 | | 12,8 | 71,1 | 15,9 | 88,3 | 17,8 | 98,9 | 20,3 | 112,8 | 23,8 | 132,2 | 27,5 | 152,8 | 29,9 | 166,1 | 33,1 | 183,9 | 37,6 | 208,9 |
| 45 | | 14,3 | 53,0 | 17,8 | 65,9 | 19,9 | 73,7 | 22,6 | 83,7 | 26,6 | 98,5 | 30,8 | 114,1 | 33,5 | 124,1 | 37,0 | 137,0 | 42,1 | 155,9 |
| 60 | 1 | 15,5 | 43,1 | 19,2 | 53,3 | 21,4 | 59,4 | 24,4 | 67,8 | 28,8 | 80,0 | 33,2 | 92,2 | 36,1 | 100,3 | 39,9 | 110,8 | 45,4 | 126,1 |
| 90 | 1,5 | 17,2 | 31,9 | 21,3 | 39,4 | 23,8 | 44,1 | 27,1 | 50,2 | 31,9 | 59,1 | 36,9 | 68,3 | 40,1 | 74,3 | 44,3 | 82,0 | 50,4 | 93,3 |
| 120 | 2 | 18,5 | 25,7 | 22,9 | 31,8 | 25,6 | 35,6 | 29,2 | 40,6 | 34,3 | 47,6 | 39,6 | 55,0 | 43,1 | 59,9 | 47,7 | 66,3 | 54,2 | 75,3 |
| 180 | 3 | 20,4 | 18,9 | 25,3 | 23,4 | 28,3 | 26,2 | 32,3 | 29,9 | 38,0 | 35,2 | 43,8 | 40,6 | 47,7 | 44,2 | 52,7 | 48,8 | 59,9 | 55,5 |
| 240 | 4 | 21,9 | 15,2 | 27,1 | 18,8 | 30,4 | 21,1 | 34,6 | 24,0 | 40,7 | 28,3 | 47,0 | 32,6 | 51,2 | 35,6 | 56,6 | 39,3 | 64,3 | 44,7 |
| 360 | 6 | 24,2 | 11,2 | 30,0 | 13,9 | 33,5 | 15,5 | 38,2 | 17,7 | 45,0 | 20,8 | 51,9 | 24,0 | 56,5 | 26,2 | 62,5 | 28,9 | 71,0 | 32,9 |
| 540 | 9 | 26,7 | 8,2 | 33,1 | 10,2 | 37,0 | 11,4 | 42,2 | 13,0 | 49,6 | 15,3 | 57,3 | 17,7 | 62,3 | 19,2 | 68,9 | 21,3 | 78,3 | 24,2 |
| 720 | 12 | 28,6 | 6,6 | 35,4 | 8,2 | 39,6 | 9,2 | 45,2 | 10,5 | 53,2 | 12,3 | 61,4 | 14,2 | 66,8 | 15,5 | 73,8 | 17,1 | 84,0 | 19,4 |
| 1080 | 18 | 31,5 | 4,9 | 39,1 | 6,0 | 43,7 | 6,7 | 49,8 | 7,7 | 58,6 | 9,0 | 67,7 | 10,4 | 73,6 | 11,4 | 81,4 | 12,6 | 92,6 | 14,3 |
| 1440 | 24 | 33,8 | 3,9 | 41,8 | 4,8 | 46,8 | 5,4 | 53,4 | 6,2 | 62,8 | 7,3 | 72,5 | 8,4 | 78,9 | 9,1 | 87,2 | 10,1 | 99,2 | 11,5 |
| 2880 | 48 | 39,9 | 2,3 | 49,4 | 2,9 | 55,3 | 3,2 | 63,0 | 3,6 | 74,1 | 4,3 | 85,6 | 5,0 | 93,1 | 5,4 | 103,0 | 6,0 | 117,1 | 6,8 |
| 4320 | 72 | 44,0 | 1,7 | 54,4 | 2,1 | 60,9 | 2,3 | 69,4 | 2,7 | 81,7 | 3,2 | 94,3 | 3,6 | 102,6 | 4,0 | 113,5 | 4,4 | 129,0 | 5,0 |
| 5760 | 96 | 47,1 | 1,4 | 58,3 | 1,7 | 65,3 | 1,9 | 74,4 | 2,2 | 87,5 | 2,5 | 101,1 | 2,9 | 109,9 | 3,2 | 121,5 | 3,5 | 138,2 | 4,0 |
| 7200 | 120 | 49,7 | 1,2 | 61,5 | 1,4 | 68,8 | 1,6 | 78,5 | 1,8 | 92,3 | 2,1 | 106,6 | 2,5 | 116,0 | 2,7 | 128,2 | 3,0 | 145,8 | 3,4 |
| 8640 | 144 | 51,9 | 1,0 | 64,3 | 1,2 | 71,9 | 1,4 | 81,9 | 1,6 | 96,4 | 1,9 | 111,3 | 2,1 | 121,1 | 2,3 | 133,9 | 2,6 | 152,3 | 2,9 |
| 10080 | 168 | 53,8 | 0,9 | 66,7 | 1,1 | 74,6 | 1,2 | 85,0 | 1,4 | 100,0 | 1,7 | 115,5 | 1,9 | 125,7 | 2,1 | 138,9 | 2,3 | 158,0 | 2,6 |

Starkniederschlagshöhen und -spenden gemäß KOSTRA-DWD-2020

Rasterfeld 130140

(Zeile 130, Spalte 140)

Örtliche Unsicherheiten in Abhängigkeit von Wiederkehrzeit T und Dauerstufe D

| Dauerstufe D | | Wiederkehrzeit T | | | | | | | | |
|--------------|-----|------------------|-----|-----|-----|------|------|------|------|-------|
| | | 1 a | 2 a | 3 a | 5 a | 10 a | 20 a | 30 a | 50 a | 100 a |
| min | Std | ± % | ± % | ± % | ± % | ± % | ± % | ± % | ± % | ± % |
| 5 | | 10 | 11 | 11 | 12 | 12 | 13 | 13 | 14 | 14 |
| 10 | | 13 | 14 | 15 | 16 | 17 | 18 | 18 | 19 | 19 |
| 15 | | 15 | 16 | 17 | 18 | 19 | 20 | 21 | 21 | 22 |
| 20 | | 16 | 18 | 19 | 19 | 21 | 21 | 22 | 22 | 23 |
| 30 | | 17 | 19 | 20 | 21 | 22 | 23 | 23 | 24 | 24 |
| 45 | | 17 | 19 | 20 | 21 | 22 | 23 | 23 | 24 | 24 |
| 60 | 1 | 17 | 19 | 20 | 21 | 22 | 23 | 23 | 24 | 24 |
| 90 | 1,5 | 16 | 18 | 19 | 20 | 22 | 22 | 23 | 23 | 24 |
| 120 | 2 | 16 | 18 | 19 | 20 | 21 | 22 | 22 | 23 | 24 |
| 180 | 3 | 15 | 17 | 18 | 19 | 20 | 21 | 22 | 22 | 23 |
| 240 | 4 | 15 | 16 | 17 | 18 | 20 | 20 | 21 | 21 | 22 |
| 360 | 6 | 14 | 16 | 16 | 17 | 19 | 19 | 20 | 20 | 21 |
| 540 | 9 | 13 | 15 | 16 | 17 | 18 | 18 | 19 | 19 | 20 |
| 720 | 12 | 13 | 14 | 15 | 16 | 17 | 18 | 18 | 19 | 19 |
| 1080 | 18 | 12 | 14 | 14 | 15 | 16 | 17 | 17 | 18 | 18 |
| 1440 | 24 | 12 | 13 | 14 | 15 | 16 | 16 | 17 | 17 | 18 |
| 2880 | 48 | 12 | 13 | 13 | 14 | 15 | 15 | 16 | 16 | 16 |
| 4320 | 72 | 13 | 13 | 13 | 14 | 15 | 15 | 15 | 16 | 16 |
| 5760 | 96 | 14 | 14 | 14 | 14 | 15 | 15 | 15 | 16 | 16 |
| 7200 | 120 | 14 | 14 | 14 | 14 | 15 | 15 | 15 | 16 | 16 |
| 8640 | 144 | 15 | 15 | 15 | 15 | 15 | 15 | 15 | 16 | 16 |
| 10080 | 168 | 15 | 15 | 15 | 15 | 15 | 15 | 16 | 16 | 16 |

Parameter für abweichende T und D

Lokationsparameter ξ (Xi)

15,84870666

Skalenparameter α (Alpha)

5,24172799

Formparameter κ (Kappa)

-0,1

1. Koutsoyiannis-Parameter θ (Theta)

0,03040066

2. Koutsoyiannis-Parameter η (Eta)

0,76113622

Parameter für dauerstufenübergreifende Extremwertschätzung nach KOUTSOYIANNIS et al. 1998.

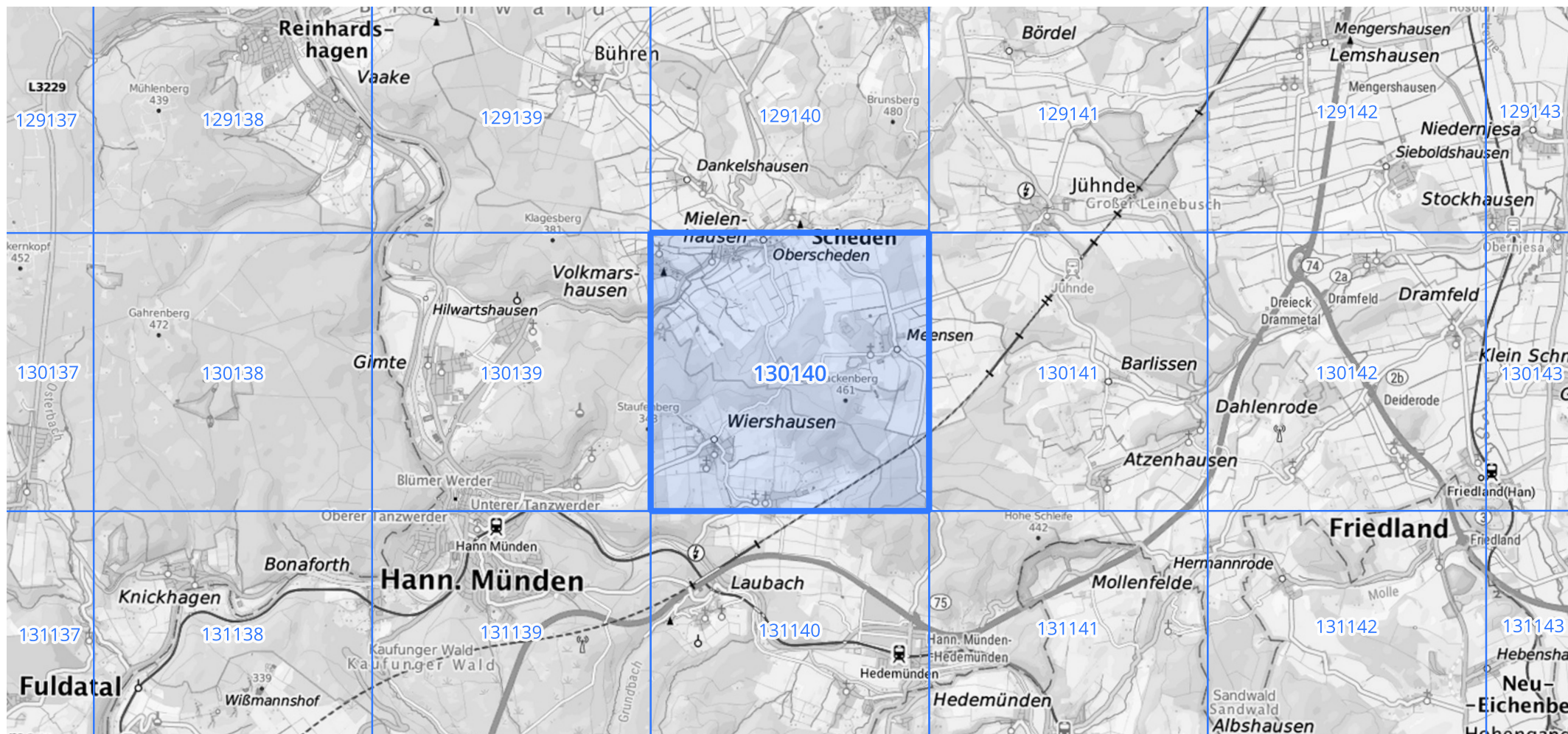
Siehe auch Anwendungshilfe zu KOSTRA-DWD-2020 des Deutschen Wetterdienstes.

Starkniederschlagshöhen und -spenden gemäß KOSTRA-DWD-2020

Rasterfeld 130140

(Zeile 130, Spalte 140)

Übersichtskarte des Rasterfeldes 130140, M 1 : 100 000



Quelle Rasterdaten: KOSTRA-DWD-2020 des Deutschen Wetterdienstes, Stand 12/2022.

Seite 3 von 3

Kartendarstellung: © Bundesamt für Kartographie und Geodäsie (2023), Datenquellen: https://sgx.geodatenzentrum.de/web_public/gdz/datenquellen/Datenquellen_TopPlusOpen.html

Für die Richtigkeit und Aktualität der Angaben wird keine Gewähr übernommen. Erstellt 01/2023.